

mml

April 29, 2024

# 1 Radial Basis Function

## 1.1 Basics

Jede lineare PDE zweiter Ordnung lässt sich in der Form

$$\sum_{ij}^n (A)_{ij} \frac{\partial^2 u(x)}{\partial x_i \partial x_j} + \sum_i^n b_i \frac{\partial u(x)}{\partial x_i} + cu(x) + d = f(x)$$

ausdrücken. Anhand der Matrix  $A$  können diese weiter klassifiziert werden:

elliptisch, falls  $A$  positiv oder negativ definit ist, i.e. Defekt  $d = 0$  und Trägheitsindex  $t = 0$

hyperbolisch, falls  $d = 0$  und  $t = 1$  oder  $t = n - 1$

ultrahyperbolisch, falls  $d = 0$  und  $1 < t < n - 1$

parabolisch, falls  $A$  ausgeartet ist, i.e.  $d > 0$ .

Der Defekt  $d$  und Trägheitsindex  $t$  sind wie folgt für

$$\text{diag}(A) = (\lambda_1, \dots, \lambda_n)$$

definiert:

$t = \text{Anzahl der } j \in \{1, \dots, n\} \text{ mit } \lambda_j < 0$

$d = \text{Anzahl der } j \in \{1, \dots, n\} \text{ mit } \lambda_j = 0$

## 1.2 Poisson Eq. Example ( $u_5$ Larsson, Fornberg)

$$\Delta u(x) = f(x) \quad \text{in } \Omega$$

$$u = g(x) \quad \text{on } \partial\Omega$$

Wähle Beispiel  $u_5$  als bekannte Lösung:

$$u_5(x, y) = \sin(\pi(x^2 + y^2))$$

Entsprechend betrachten wir  $\dim = 2$  und  $\Omega$  die Einheitsscheibe. Und es gilt

$$\Delta u_5(x, y) = -4\pi(\pi(x^2 + y^2) \sin(\pi(x^2 + y^2)) - \cos(\pi(x^2 + y^2)))$$

### 1.2.1 Approximation mit Methode 1 (Unsymmetrisch):

$$s(x, \epsilon) = \sum_{j=1}^N \lambda_j \phi(\|x - x_j\|, \epsilon)$$

Dabei wird für  $\phi(r, \epsilon)$  die Multiquadric RBF gewählt:

$$\phi(r, \epsilon) = \sqrt{1 + (\epsilon r)^2}$$

### 1.2.2 Exkurs Polarkoordinaten

Jeder Punkt  $(x, y)$  lässt sich auch eindeutig durch seinen Abstand  $r$  vom Ursprung und den Winkel  $\theta$  zwischen der Geraden vom Ursprung zum Punkt  $(x, y)$  und der  $x$ -Achse darstellen. Diese Koordinatentransformation wird durch

$$x = r \cos(\theta)$$

$$y = r \sin(\theta)$$

beschrieben. Das heißt eine Funktion  $u(x, y)$  kann auch als  $u(x(r, \theta), y(r, \theta))$  beschrieben werden und mit der Kettenregel folgt

$$\frac{\partial u}{\partial r} = \frac{\partial u}{\partial x} \frac{\partial x}{\partial r} + \frac{\partial u}{\partial y} \frac{\partial y}{\partial r}$$

$$\frac{\partial u}{\partial r} = \frac{\partial u}{\partial x} \cos(\theta) + \frac{\partial u}{\partial y} \sin(\theta)$$

und

$$\frac{\partial^2 u}{\partial r^2} = \frac{\partial^2 u}{\partial x^2} \frac{\partial x}{\partial r} \cos(\theta) + \frac{\partial^2 u}{\partial x \partial y} \frac{\partial y}{\partial r} \cos(\theta) + \frac{\partial^2 u}{\partial y^2} \frac{\partial y}{\partial r} \sin(\theta) + \frac{\partial^2 u}{\partial y \partial x} \frac{\partial x}{\partial r} \sin(\theta)$$

$$\frac{\partial^2 u}{\partial r^2} = \frac{\partial^2 u}{\partial x^2} \cos^2(\theta) + 2 \frac{\partial^2 u}{\partial x \partial y} \cos(\theta) \sin(\theta) + \frac{\partial^2 u}{\partial y^2} \sin^2(\theta),$$

sowie

$$\frac{\partial u}{\partial \theta} = \frac{\partial u}{\partial x} \frac{\partial x}{\partial \theta} + \frac{\partial u}{\partial y} \frac{\partial y}{\partial \theta}$$

$$\frac{\partial u}{\partial \theta} = -\frac{\partial u}{\partial x} r \sin(\theta) + \frac{\partial u}{\partial y} r \cos(\theta)$$

und

$$\frac{\partial^2 u}{\partial \theta^2} = -\frac{\partial^2 u}{\partial x^2} \frac{\partial x}{\partial \theta} r \sin(\theta) - \frac{\partial u}{\partial x} \frac{\partial}{\partial \theta} r \sin(\theta) - \frac{\partial^2 u}{\partial x \partial y} \frac{\partial y}{\partial \theta} r \sin(\theta) + \frac{\partial^2 u}{\partial y^2} \frac{\partial y}{\partial \theta} r \cos(\theta) + \frac{\partial u}{\partial y} \frac{\partial}{\partial \theta} r \cos(\theta) + \frac{\partial^2 u}{\partial y \partial x} \frac{\partial x}{\partial \theta} r \cos(\theta)$$

$$\frac{\partial^2 u}{\partial \theta^2} = \frac{\partial^2 u}{\partial x^2} r^2 \sin^2(\theta) - \frac{\partial u}{\partial x} r \cos(\theta) - \frac{\partial^2 u}{\partial x \partial y} r^2 \sin(\theta) \cos(\theta) + \frac{\partial^2 u}{\partial y^2} r^2 \cos^2(\theta) - \frac{\partial u}{\partial y} r \sin(\theta) - \frac{\partial^2 u}{\partial x \partial y} r^2 \sin(\theta) \cos(\theta)$$

Für  $\frac{\partial^2 u}{\partial r^2} + \frac{1}{r^2} \frac{\partial^2 u}{\partial \theta^2}$  erhalten wir

$$\frac{\partial^2 u}{\partial r^2} + \frac{1}{r^2} \frac{\partial^2 u}{\partial \theta^2} = \frac{\partial^2 u}{\partial x^2} (\cos^2(\theta) + \sin^2(\theta)) + \frac{\partial^2 u}{\partial x \partial y} (2 \sin(\theta) \cos(\theta) - 2 \sin(\theta) \cos(\theta)) + \frac{\partial^2 u}{\partial y^2} (\sin^2(\theta) + \cos^2(\theta)) - \frac{1}{r} \left( \frac{\partial u}{\partial x} \cos(\theta) - \frac{\partial u}{\partial y} \sin(\theta) \right)$$

Mit  $\frac{\partial u}{\partial r} = \frac{\partial u}{\partial x} \cos(\theta) + \frac{\partial u}{\partial y} \sin(\theta)$  und  $\cos^2(\theta) + \sin^2(\theta) = 1$  erhalten wir

$$\frac{\partial^2 u}{\partial r^2} + \frac{1}{r^2} \frac{\partial^2 u}{\partial \theta^2} = \frac{\partial^2 u}{\partial x^2} + \frac{\partial^2 u}{\partial y^2} + \frac{1}{r} \frac{\partial u}{\partial r}$$

und entsprechend für

$$\frac{\partial^2 u}{\partial x^2} + \frac{\partial^2 u}{\partial y^2} = \frac{\partial^2 u}{\partial r^2} + \frac{1}{r} \frac{\partial u}{\partial r} + \frac{1}{r^2} \frac{\partial^2 u}{\partial \theta^2}$$

Dementsprechend gilt für  $\Delta \phi$  mit  $\Delta \phi = \frac{\partial^2 \phi}{\partial x^2} + \frac{\partial^2 \phi}{\partial y^2}$  in Polarkoordinaten:

$$\Delta \phi(r, \epsilon) = \frac{\partial^2 \phi}{\partial r^2} + \frac{1}{r} \frac{\partial \phi}{\partial r} + \frac{1}{r^2} \frac{\partial^2 \phi}{\partial \theta^2}$$

Wobei  $\phi$  hier nur von  $r$  abhängt, i.e.  $\frac{\partial \phi}{\partial \theta} = 0$ . Entsprechend gilt:

$$\Delta \phi(r, \epsilon) = \frac{\partial^2 \phi}{\partial r^2} + \frac{1}{r} \frac{\partial \phi}{\partial r}$$

Und damit:

$$\Delta \phi(r, \epsilon) = \frac{\epsilon^2((\epsilon r)^2 + 2)}{((\epsilon r)^2 + 1)^{\frac{3}{2}}}$$

Definiere  $\phi$  (phi) und  $\Delta \phi$  (Lphi) in Python:

```
[1]: import numpy as np

def phi(r, e):
    return np.sqrt(1 + (e*r) ** 2)

def Lphi(r, e):
    return e ** 2 * ((e*r) ** 2 + 2) / ((e*r) ** 2 + 1) ** (3/2)
```

Definiere  $u_5$  (u) und  $\Delta u_5$  (Lu) in Python:

```
[2]: def u(x, y):
    return np.sin(np.pi * (x ** 2 + y ** 2))

def Lu(x, y):
    return -4 * np.pi * (np.pi * (x ** 2 + y ** 2) * np.sin(np.pi * (x ** 2 + y
↪** 2)) - np.cos(np.pi * (x ** 2 + y ** 2)))
```

Erzeuge Distribution der 50 Nodes und Center-Points (entsprechend Methode 1 sind diese hier identisch) auf der Einheitsscheibe, wobei 30 im Inneren (intd) sind und 20 auf dem Rand (bdyd) liegen:

```
[3]: from scipy.stats import qmc
import matplotlib.pyplot as plt

rng_bdy = qmc.Halton(d=1, scramble = False) # Pseudo-Zufallsgenerator für eine
↪Dimension (Winkel)
theta_bdy = rng_bdy.random(n = 20) * 2 * np.pi # Erzeuge 20 Zufallszahlen und
↪skaliere von [0, 1] auf [0, 2 * Pi]

# Mit diesen Zufallszahlen erzeuge Punkte auf Einheitskreis
bdyd_x = np.sin(theta_bdy)
bdyd_y = np.cos(theta_bdy)

bdyd = np.array([bdyd_x, bdyd_y]).T.reshape(20,2)

# Pseudo-Zufallsgenerator für zwei Dimension (x, y)
rng_int = qmc.Halton(d=2, scramble = False)

intd = [] # Array das am Ende die 30 Innerenpunkt (x, y) enthalten soll
```

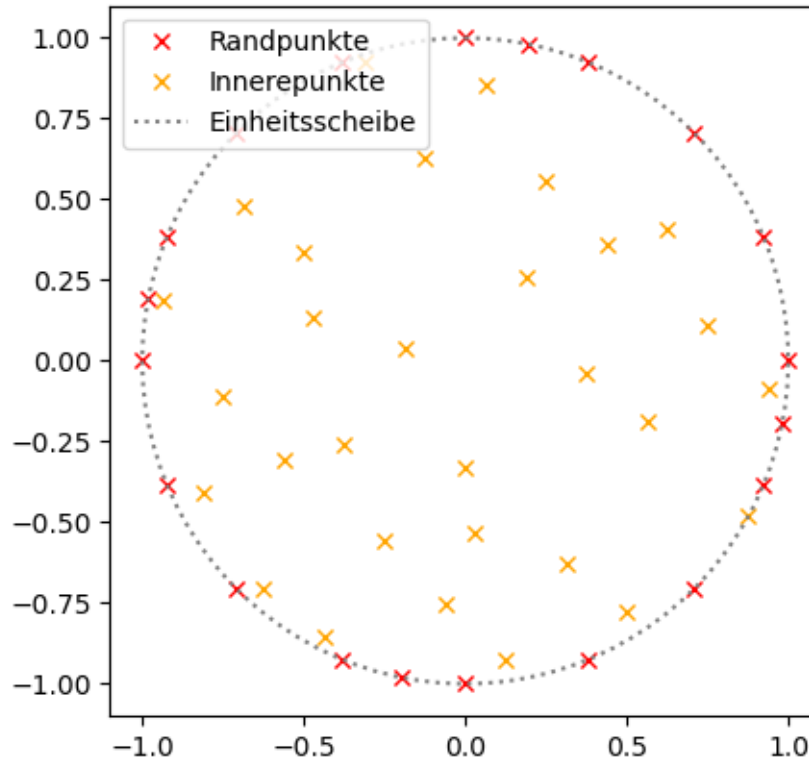
```

# Erzeuge "Monte-Carlo mäßig" 30 Punkte
while len(intd) < 30:
    intd_ = rng_int.random(n = 30 - len(intd)) * 2 - 1 # Erzeuge 30 - (Anzahl
    ↪ bereits erzeugter Werte) Zufallszahlen (x, y) auf [-1, 1]
    dist = np.linalg.norm(intd_, axis = 1) # Berechne Norm für diese
    ↪ Zufallszahlen (sqrt(x^2+y^2))
    ind = []
    for i, d in enumerate(dist): # Loop über alle erzeugten Zufallszahlen
        if d >= 1: # Wenn Norm der Zufallszahl >= 1 (i.e. Punkt liegt nicht in
        ↪ Einheitsscheibe), merke Index zum löschen
            ind.append(i)
    intd_ = np.delete(intd_, ind, axis = 0) # Lösche alle Punkte die außerhalb
    ↪ der Einheitsscheibe liegen aus Array
    if len(intd) == 0:
        intd = intd_
    else:
        intd = np.append(intd, intd_, axis = 0)

th = np.linspace(0, 2*np.pi, 100) # Äquidistante Winkeldistribution für das
    ↪ Ploten der Einheitsscheibe

#Plotten :)
plt.plot(bdyd_x, bdyd_y, color = 'red', linestyle = 'None', markersize = 5.5,
    ↪ marker = 'x', label = 'Randpunkte');
plt.plot(intd.T[0], intd.T[1], color = 'orange', linestyle = 'None', markersize
    ↪ = 5.5, marker = 'x', label = 'Innerepunkte')
plt.plot(np.sin(th), np.cos(th), color = 'gray', linestyle = 'dotted', label =
    ↪ 'Einheitsscheibe');
plt.gca().set_aspect('equal')
plt.legend(loc='upper left')
plt.show();

```

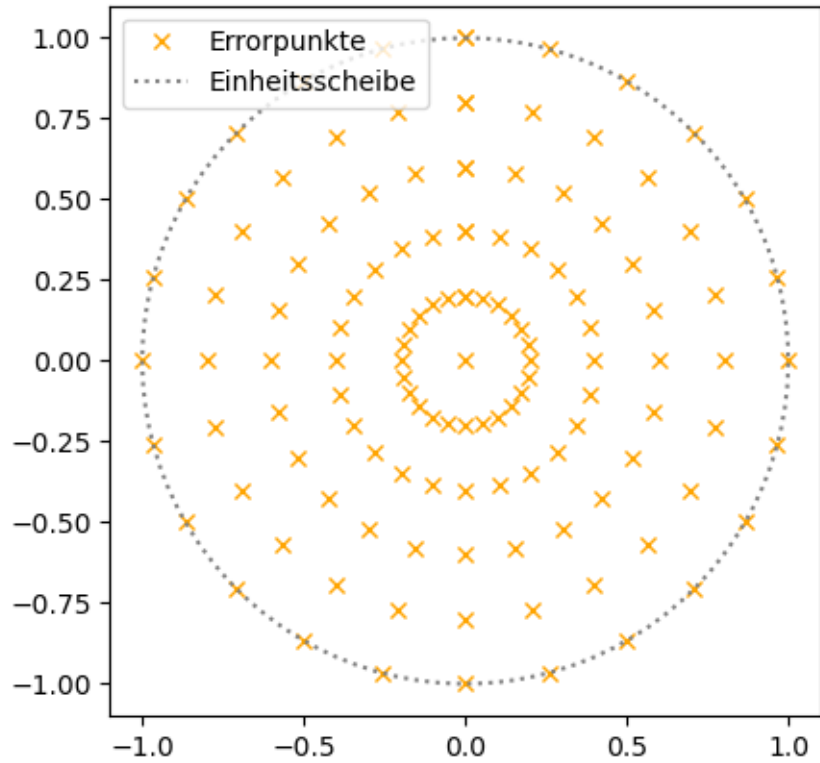


Erzeuge Punkte an denen der Error (errd) evaluiert wird:

```
[4]: errd = np.array([[0, 0]])
theta = np.linspace(0, 2*np.pi, 25)
for i in range(5):
    x = np.sin(theta) * 1/5 * (i + 1)
    y = np.cos(theta) * 1/5 * (i + 1)
    d = [[x, y]]
    errd = np.append(errd, np.transpose(d).reshape((25, 2)), axis = 0)

th = np.linspace(0, 2*np.pi, 100) # Äquidistante Winkeldistribution für das
↳ Ploten der Einheitsscheibe

#Plotten :)
plt.plot(errd.T[0], errd.T[1], color = 'orange', linestyle = 'None', markersize=
↳ 5.5, marker = 'x', label = 'Errorpunkte')
plt.plot(np.sin(th), np.cos(th), color = 'gray', linestyle = 'dotted', label =
↳ 'Einheitsscheibe');
plt.gca().set_aspect('equal')
plt.legend(loc='upper left')
plt.show();
```



Der Error  $E(\epsilon)$  ist definiert als

$$E(\epsilon) = \max_{\Omega} |s(x, \epsilon) - u(x)|$$

Definiere in Python:

```
[5]: def Err(s, u):
      return np.max(np.absolute(s - u))
```

Für das Problem

$$\Delta u(x) = f(x) \quad \text{in } \Omega$$

$$u(x) = g(x) \quad \text{on } \partial\Omega$$

Folgt mit  $s(x, \epsilon) \approx u(x)$ :

$$\Delta s(x, \epsilon) = f(x) \quad \text{in } \Omega$$

$$s(x, \epsilon) = g(x) \quad \text{on } \partial\Omega$$

Bzw. da in unserem Fall  $f(x)$  und  $g(x)$  aus einer vorgegebenen Lösung  $u(x)$  definiert werden:

$$\Delta s(x, \epsilon) = \Delta u(x) \quad \text{in } \Omega$$

$$s(x, \epsilon) = u(x) \quad \text{on } \partial\Omega$$

Und entsprechend der Definition von  $s(x, \epsilon)$ :

$$\sum_{j=1}^{N_I} \lambda_j \Delta \phi(\|x - x_j\|, \epsilon) = \Delta u(x) \quad \text{in } \Omega$$

$$\sum_{j=1}^{N_B} \lambda_j \phi(\|x - x_j\|, \epsilon) = u(x) \quad \text{on } \partial\Omega$$

Mit

$$(A)_{ij} = \Delta \phi(\|x_i - x_j\|, \epsilon) \quad \text{für } j < N_I,$$

$$(A)_{ij} = \phi(\|x_i - x_j\|, \epsilon) \quad \text{für } N_I < j < N_I + N_B,$$

$$\lambda = (\lambda_1, \dots, \lambda_{N_I}, \lambda_{N_I+1}, \dots, \lambda_{N_I+N_B})$$

und

$$\tilde{u} = (\Delta u(x_i), u(x_j)) \quad \text{für } i < N_I, j < N_B$$

können wir das zusammenfassen zu:

$$A \cdot \lambda = \tilde{u}$$

Dieses Gleichungssystem lässt sich lösen, da  $A$  (in den meisten Fällen) nicht singulär wird und wird hier SciPy überlassen:

```
[6]: from scipy import linalg
from scipy.spatial import distance_matrix

def meth1_5(e, int, bdy, err):
    dm = distance_matrix(err, np.append(int, bdy, axis = 0))
    dm_int = distance_matrix(int, np.append(int, bdy, axis = 0))
    dm_bdy = distance_matrix(bdy, np.append(int, bdy, axis = 0))

    u_tilde = np.append(Lu(int.T[0], int.T[1]), u(bdy.T[0], bdy.T[1]), axis =
↪0).reshape(50,1)
    A = np.asarray(np.bmat([[Lphi(dm_int, e)], [phi(dm_bdy, e)]]))
    lam = linalg.solve(A, u_tilde)

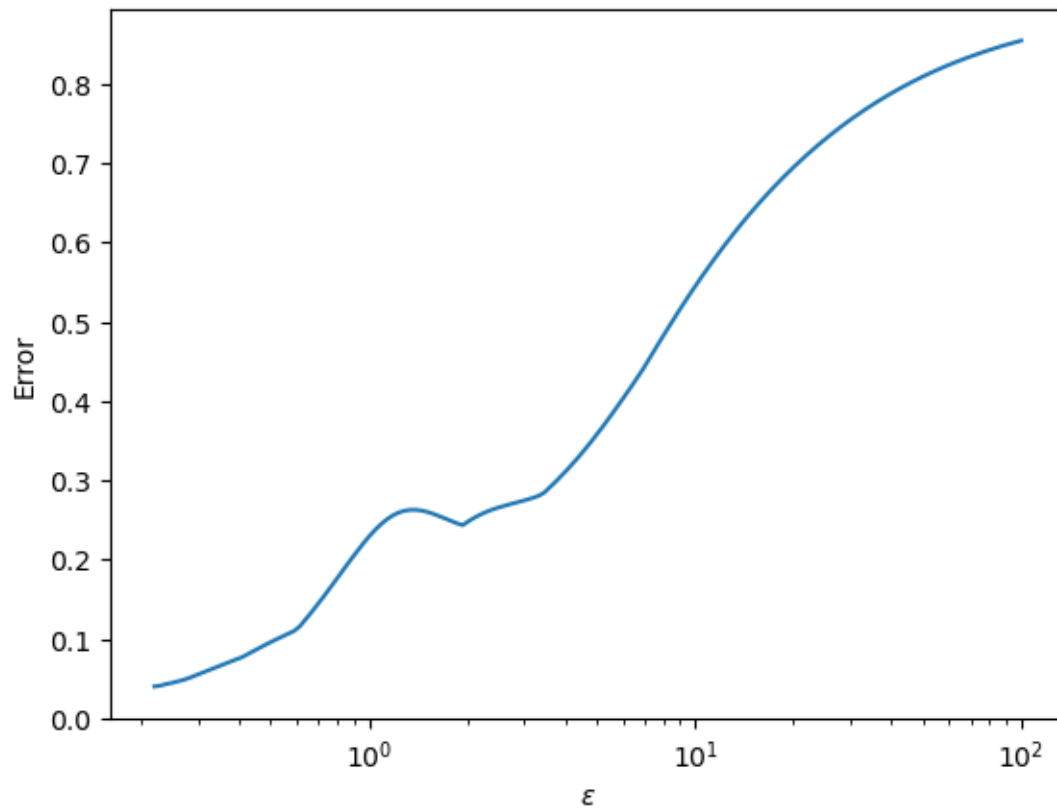
    return np.dot(phi(dm, e), lam)
```

Auswertung des Fehlers:

```
[7]: u_exact = u(errd.T[0], errd.T[1])
eps = np.geomspace(2.2e-1, 1e2, 150)
Es = []
for ep in eps:
    s_approx = meth1_5(ep, intd, bdyd, errd).flatten()
    Es.append(Err(s_approx, u_exact))

plt.plot(eps, Es);
plt.xlabel('$\epsilon$');
plt.ylabel('Error')
```

```
plt.xscale('log');
plt.show();
```



Für kleinere  $\epsilon$  explodiert der Fehler und SciPy wirft Errors, da  $A$  nicht mehr well-posed ist.

### 1.3 Poisson Eq. Example ( $u_1$ Larsson, Fornberg)

#### 1.3.1 Approximation mit Methode 1 (Unsymmetrisch):

Um das Ergebnis nochmal mit dem des Papers vergleichen zu können betrachten wir  $u_1$ , da dieses geplottet wurde:

$$u_1 = \frac{65}{65 + (x - 0.2)^2 + (y + 0.1)^2}$$

Berechnen von  $\Delta u_1$  mit SymPy:

$$\Delta u_1 =$$

```
[8]: from sympy import *

def u1(x, y):
    return 65 / (65 + (x - 0.2)**2 + (y + 0.1) ** 2)
```



```
x, y = symbols('x y')
init_session(quiet = True)
u1_ = 65 / (65 + (x - 0.2)**2 + (y + 0.1) ** 2)
diff(u1_, x, x) + diff(u1_, y, y)
```

[8]: 
$$\frac{65 \left( \frac{(2x-0.4)(4x-0.8)}{(x-0.2)^2 + (y+0.1)^2 + 65} - 2 \right)}{\left( (x-0.2)^2 + (y+0.1)^2 + 65 \right)^2} + \frac{65 \left( \frac{(2y+0.2)(4y+0.4)}{(x-0.2)^2 + (y+0.1)^2 + 65} - 2 \right)}{\left( (x-0.2)^2 + (y+0.1)^2 + 65 \right)^2}$$

[9]: `Lu1 = lambdify((x, y), diff(u1_, x, x) + diff(u1_, y, y))`

[10]: 

```
def meth1_1(e, int, bdy, err):
    dm = distance_matrix(err, np.append(int, bdy, axis = 0))
    dm_int = distance_matrix(int, np.append(int, bdy, axis = 0))
    dm_bdy = distance_matrix(bdy, np.append(int, bdy, axis = 0))

    u_tilde = np.append(Lu1(int.T[0], int.T[1]), u1(bdy.T[0], bdy.T[1]), axis =
↳0).reshape(50,1)
    A = np.asarray(np.bmat([[Lphi(dm_int, e)], [phi(dm_bdy, e)]]))
    lam = linalg.solve(A, u_tilde)

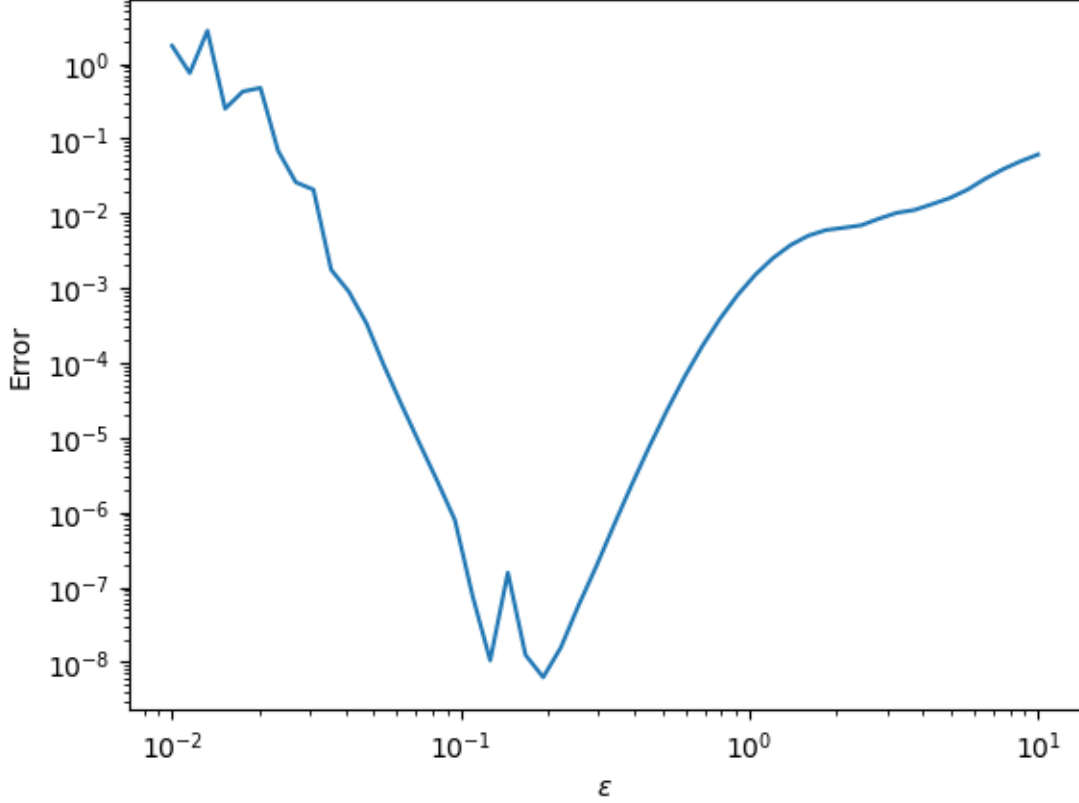
    return np.dot(phi(dm, e), lam)
```

[11]: 

```
%matplotlib inline
import warnings
warnings.filterwarnings('ignore')

u_exact = u1(errd.T[0], errd.T[1])
eps = np.geomspace(1e-2, 1e1, 50)
Es = []
for ep in eps:
    s_approx = meth1_1(ep, intd, bdyd, errd).flatten()
    Es.append(Err(s_approx, u_exact))

plt.plot(eps, Es);
plt.xlabel('$\epsilon$');
plt.ylabel('Error')
plt.xscale('log');
plt.yscale('log');
plt.show();
```



Das schaut sehr wie das Ergebnis im Paper aus. Auch hier für kleinere  $\epsilon$  ist  $A$  nicht mehr well-posed.

### 1.3.2 Approximation mit Methode 2 (Symmetrisch):

Um definitiv zu verhindern, dass  $A$  singulär wird, können wir  $s(x, \epsilon)$  so definieren, dass  $A$  symmetrisch ist:

$$s(x, \epsilon) = \sum_{j=1}^{N_B} \lambda_j \phi(\|x - x_j\|, \epsilon) + \sum_{j=N_B+1}^N \lambda_j \Delta \phi(\|x - x_j\|, \epsilon)$$

Durch einsetzen in die PDE gilt:

$$\sum_{j=1}^{N_B} \lambda_j \phi(\|x_i - x_j\|, \epsilon) + \sum_{j=N_B+1}^N \lambda_j \Delta \phi(\|x_i - x_j\|, \epsilon) = g(x_i)$$

Für  $i = 1, \dots, N_B$ .

Und

$$\sum_{j=1}^{N_B} \lambda_j \Delta \phi(\|x_i - x_j\|, \epsilon) + \sum_{j=N_B+1}^N \lambda_j \Delta^2 \phi(\|x_i - x_j\|, \epsilon) = f(x_i)$$

Für  $i = N_B + 1, \dots, N$ .

Für die hier genutzte RBF gilt (mit SymPy)

$$\Delta^2 \phi(r, \epsilon) =$$

```
[12]: r, e = symbols('r e')
phi__ = e ** 2 * ((e*r) ** 2 + 2) / ((e*r) ** 2 + 1) ** (3/2)

simplify(simplify(diff(phi__, r, r)+1/r*diff(phi__, r)))
```

$$e^4 \frac{\left(e^2 r^2 (e^2 r^2 + 1)^{4.0} \cdot (15.0 e^2 r^2 + 30.0) - (e^2 r^2 + 1)^{5.0} \cdot (18.0 e^2 r^2 + 12.0) + 4.0 (e^2 r^2 + 1)^{6.0}\right)}{(e^2 r^2 + 1)^{7.5}}$$

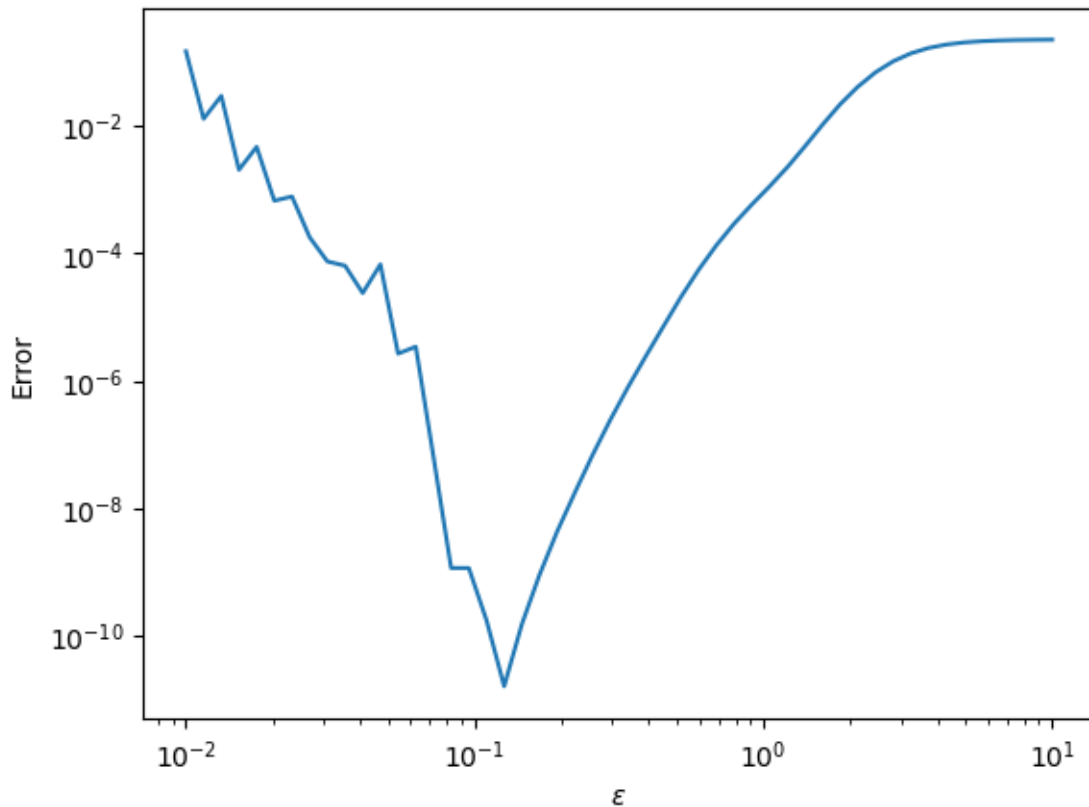
```
[13]: L2phi = lambdify((r, e), simplify(simplify(diff(phi__, r, r)+1/r*diff(phi__, r))))
```

```
[14]: def meth2_1(e, int, bdy, err):
    dm_int = distance_matrix(err, int)
    dm_bdy = distance_matrix(err, bdy)
    dm_int_int = distance_matrix(int, int)
    dm_int_bdy = distance_matrix(int, bdy)
    dm_bdy_int = distance_matrix(bdy, int)
    dm_bdy_bdy = distance_matrix(bdy, bdy)

    u_tilde = np.append(Lu1(int.T[0], int.T[1]), u1(bdy.T[0], bdy.T[1]), axis = 0).reshape(50,1)
    A = np.asarray(np.bmat([[Lphi(dm_int_bdy, e), L2phi(dm_int_int, e)],
    [phi(dm_bdy_bdy, e), Lphi(dm_bdy_int, e)]]))
    lam = linalg.solve(A, u_tilde)
    return np.dot(np.asarray(np.bmat([phi(dm_bdy, e), Lphi(dm_int, e)])), lam)
```

```
[15]: u_exact = u1(errd.T[0], errd.T[1])
eps = np.geomspace(1e-2, 1e1, 50)
Es = []
for ep in eps:
    s_approx = meth2_1(ep, intd, bdyd, errd).flatten()
    Es.append(Err(s_approx, u_exact))

plt.plot(eps, Es);
plt.xlabel('$\epsilon$');
plt.ylabel('Error')
plt.xscale('log');
plt.yscale('log');
plt.show();
```



Vergleiche mit Methode 1, Methode 2 ist für kleine  $\epsilon$  genauer.

### 1.3.3 Approximation mit Methode 3 (Unsymmetrisch):

(Beschreibung noch schreiben)

```
[16]: rng_cnt = qmc.Halton(d=1, scramble = False) # Pseudo-Zufallsgenerator für eine
      ↪ Dimension (Winkel)
theta_cnt = rng_bdy.random(n = 20) * 2 * np.pi # Erzeuge 20 Zufallszahlen und
      ↪ skaliere von [0, 1] auf [0, 2 * Pi]

# Mit diesen Zufallszahlen erzeuge Punkte auf Kreis mit Radius 1.5
cntd_x = 1.5 * np.sin(theta_bdy)
cntd_y = 1.5 * np.cos(theta_bdy)

cntd = np.array([cntd_x, cntd_y]).T.reshape(20,2)

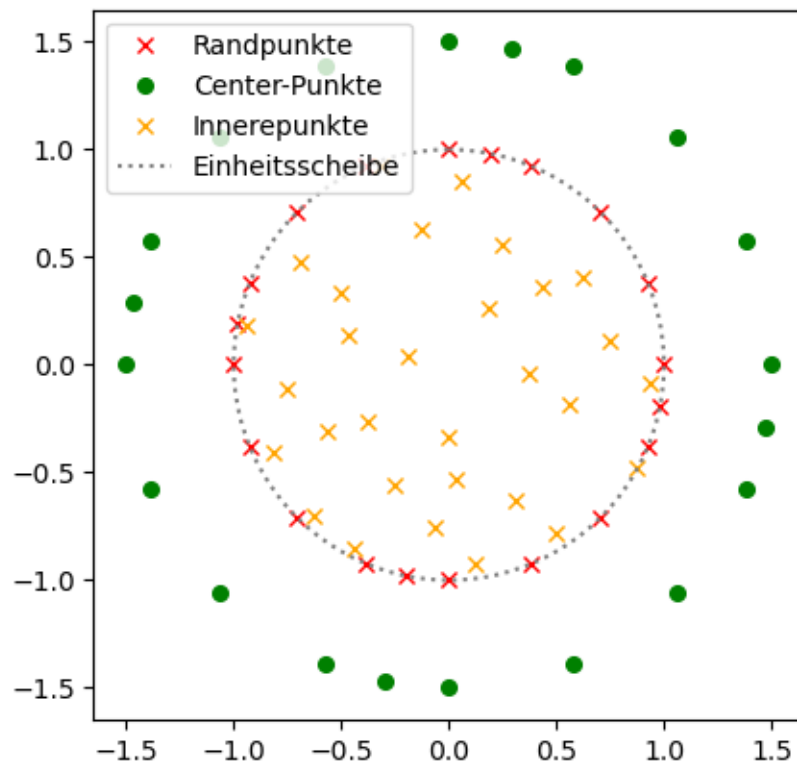
th = np.linspace(0, 2*np.pi, 100) # Äquidistante Winkeldistribution für das
      ↪ Plotten der Einheitsscheibe

#Plotten :)
```

```

plt.plot(bdyd_x, bdyd_y, color = 'red', linestyle = 'None', markersize = 5.5,
↪marker = 'x', label = 'Randpunkte');
plt.plot(cntd_x, cntd_y, color = 'green', linestyle = 'None', markersize = 5.5,
↪marker = 'o', label = 'Center-Punkte');
plt.plot(intd.T[0], intd.T[1], color = 'orange', linestyle = 'None', markersize
↪= 5.5, marker = 'x', label = 'Innerepunkte')
plt.plot(np.sin(th), np.cos(th), color = 'gray', linestyle = 'dotted', label =
↪'Einheitsscheibe');
plt.gca().set_aspect('equal')
plt.legend(loc='upper left')
plt.show();

```



```

[17]: def meth3_1(e, int, bdy, cnt, err):
    dm = distance_matrix(err, np.append(int, cnt, axis = 0))
    dm_int = distance_matrix(int, np.append(int, cnt, axis = 0))
    dm_bdy = distance_matrix(bdy, np.append(int, cnt, axis = 0))

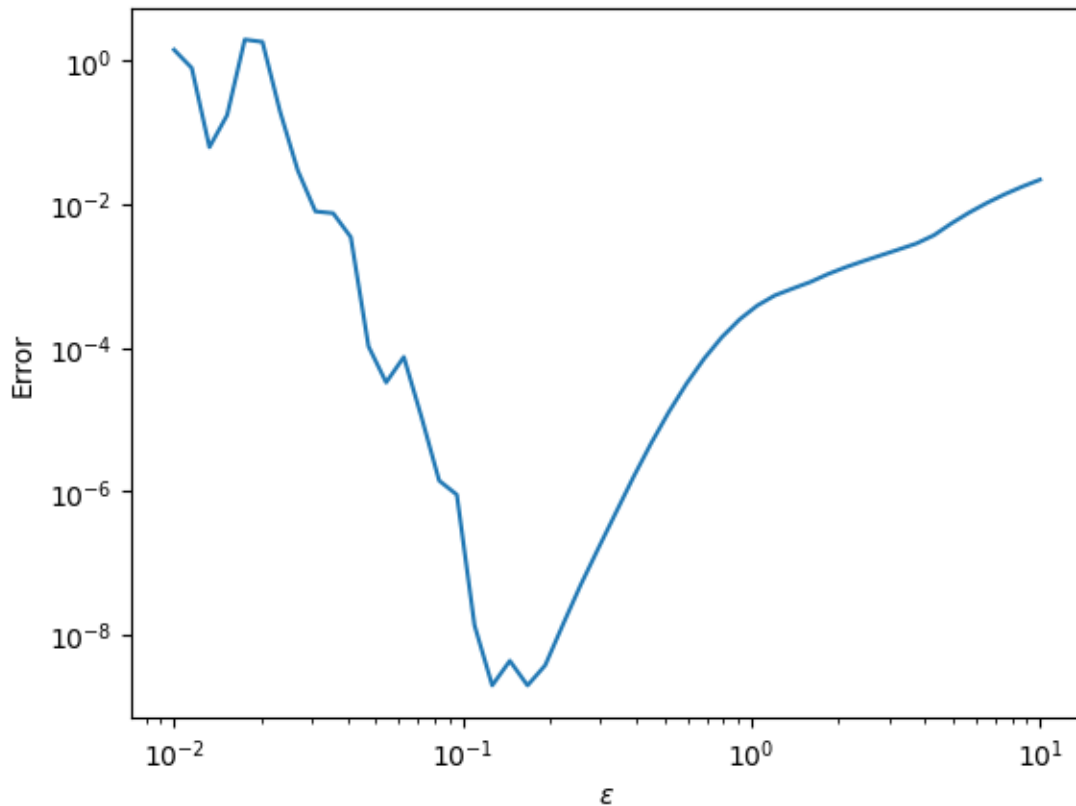
    u_tilde = np.append(Lu1(int.T[0], int.T[1]), u1(bdy.T[0], bdy.T[1]), axis =
↪0).reshape(50,1)
    A = np.asarray(np.bmat([[Lphi(dm_int, e)], [phi(dm_bdy, e)]]))
    lam = linalg.solve(A, u_tilde)

```

```
return np.dot(phi(dm, e), lam)
```

```
[18]: u_exact = u1(errd.T[0], errd.T[1])
eps = np.geomspace(1e-2, 1e1, 50)
Es = []
for ep in eps:
    s_approx = meth3_1(ep, intd, bdyd, cntd, errd).flatten()
    Es.append(Err(s_approx, u_exact))

plt.plot(eps, Es);
plt.xlabel('$\epsilon$');
plt.ylabel('Error')
plt.xscale('log');
plt.yscale('log');
plt.show();
```



### 1.3.4 Vergleich der Methoden für “kantiges” $\Omega$ , Beispiel 1

Wähle  $\Omega$  als Einheitskreisscheibe mit rausgeschnittenem “Kuchenstück”

```

[19]: N_B_o = 1000

th = np.linspace(1/4*np.pi, 2*np.pi, N_B_o) # Äquidistante Winkeldistribution
↳ für das Plotten der Einheitsscheibe
bdy = np.array([[np.sin(th)], [np.cos(th)]]).reshape(2, N_B_o)
n_dx = np.floor(1 / (7/4 * np.pi / N_B_o)).astype(int)
bdy2 = np.array([np.zeros((n_dx, 1)), np.linspace(0, 1, n_dx).reshape(n_dx,1)]).
↳ reshape(2,n_dx)
bdy3 = np.array([np.linspace(0, np.sin(1/4 * np.pi), n_dx).reshape(n_dx,1), np.
↳ linspace(0, np.cos(1/4 * np.pi), n_dx).reshape(n_dx,1)]).reshape(2,n_dx)

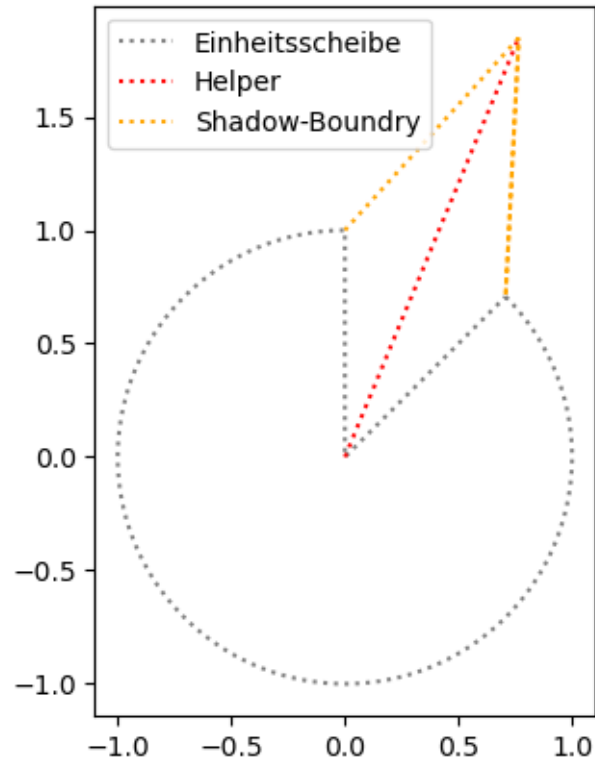
bdy = np.append(bdy, bdy2, axis = 1)
bdy = np.append(bdy, bdy3, axis = 1)

help = np.array([np.linspace(0, 2 * np.sin(1/8 * np.pi), n_dx).reshape(n_dx,1),
↳ np.linspace(0, 2 * np.cos(1/8 * np.pi), n_dx).reshape(n_dx,1)]).
↳ reshape(2,n_dx)
help2 = np.array([np.linspace(0, 2 * np.sin(1/8 * np.pi), n_dx).
↳ reshape(n_dx,1), np.linspace(1, 2 * np.cos(1/8 * np.pi), n_dx).
↳ reshape(n_dx,1)]).reshape(2,n_dx)
help3 = np.array([np.linspace(np.sin(1/4 * np.pi), 2 * np.sin(1/8 * np.pi),
↳ n_dx).reshape(n_dx,1), np.linspace(np.cos(1/4 * np.pi), 2 * np.cos(1/8 * np.
↳ pi), n_dx).reshape(n_dx,1)]).reshape(2,n_dx)

help2 = np.append(help2, help3, axis = 1)

#Plotten :)
plt.plot(bdy[0], bdy[1], color = 'gray', linestyle = 'dotted', label =
↳ 'Einheitsscheibe');
plt.plot(help[0], help[1], color = 'red', linestyle = 'dotted', label =
↳ 'Helper');
plt.plot(help2[0], help2[1], color = 'orange', linestyle = 'dotted', label =
↳ 'Shadow-Boundary');
plt.gca().set_aspect('equal')
plt.legend(loc='upper left')
plt.show();

```



```
[ ]: rng_bdy = qmc.Halton(d=1, scramble = False) # Pseudo-Zufallsgenerator für eine
      ↳ Dimension (Winkel)
theta_bdy = rng_bdy.random(n = 20) * 2 * np.pi # Erzeuge 20 Zufallszahlen und
      ↳ skaliere von [0, 1] auf [0, 2 * Pi]

# Mit diesen Zufallszahlen erzeuge Punkte auf Einheitskreis

bdyd2_x = []
bdyd2_y = []

for t in theta_bdy:
    if t > 1/4 * np.pi:
        bdyd2_x.append(np.sin(t))
        bdyd2_y.append(np.cos(t))
    else if t > 1/8 * np.pi:
        # Hier weiter schreiben!!!!!!!

bdyd = np.array([bdyd_x, bdyd_y]).T.reshape(20,2)

# Pseudo-Zufallsgenerator für zwei Dimension (x, y)
rng_int = qmc.Halton(d=2, scramble = False)
```



```

intd = [] # Array das am Ende die 30 Innerenpunkt (x, y) enthalten soll

# Erzeuge "Monte-Carlo mäßig" 30 Punkte
while len(intd) < 30:
    intd_ = rng_int.random(n = 30 - len(intd)) * 2 - 1 # Erzeuge 30 - (Anzahl
    ↪ bereits erzeugter Werte) Zufallszahlen (x, y) auf [-1, 1]
    dist = np.linalg.norm(intd_, axis = 1) # Berechne Norm für diese
    ↪ Zufallszahlen ( $\sqrt{x^2+y^2}$ )
    ind = []
    for i, d in enumerate(dist): # Loop über alle erzeugten Zufallszahlen
        if d >= 1: # Wenn Norm der Zufallszahl >= 1 (i.e. Punkt liegt nicht in
        ↪ Einheitsscheibe), merke Index zum löschen
            ind.append(i)
    intd_ = np.delete(intd_, ind, axis = 0) # Lösche alle Punkte die außerhalb
    ↪ der Einheitsscheibe liegen aus Array
    if len(intd) == 0:
        intd = intd_
    else:
        intd = np.append(intd, intd_, axis = 0)

th = np.linspace(0, 2*np.pi, 100) # Äquidistante Winkeldistribution für das
    ↪ Ploten der Einheitsscheibe

#Plotten :)
plt.plot(bdyd_x, bdyd_y, color = 'red', linestyle = 'None', markersize = 5.5,
    ↪ marker = 'x', label = 'Randpunkte');
plt.plot(intd.T[0], intd.T[1], color = 'orange', linestyle = 'None', markersize
    ↪ = 5.5, marker = 'x', label = 'Innerepunkte')
plt.plot(np.sin(th), np.cos(th), color = 'gray', linestyle = 'dotted', label =
    ↪ 'Einheitsscheibe');
plt.gca().set_aspect('equal')
plt.legend(loc='upper left')
plt.show();

```